

## Op1 – Corrigé des exercices 2, 3 et 5

### Exercice 2

a) (*Traitée en classe*) On a trouvé :  $(SM) = n_a(f' + x) + (n - n_a)e_0$ .

b) Le rayon émergent passant par  $N$  est parallèle à l'axe, comme tous les rayons émergents, puisque la source (point objet réel) est au foyer principal objet. À première vue, on pourrait faire un calcul géométrique simple du chemin optique  $(SN)$ , mais ce n'est pas le cas, car il y a une information cachée sur ce schéma simplifié : on ne sait pas quelle est l'épaisseur de lentille traversée par ce rayon ; on peut juste dire qu'elle est inférieure à  $e_0$ , puisqu'une lentille convergente est plus épaisse au centre. Pour contourner cette difficulté, on trace alors la surface d'onde passant par  $N$  : elle est plane et orthogonale au faisceau de rayons parallèles, d'après le théorème de Malus.

Donc  $N$  est sur la même surface d'onde que  $M$ , d'où par définition de la surface d'onde :  $(SN) = (SM) = n_a(f' + x) + (n - n_a)e_0$ .

Le chemin optique  $(SN)$  semble pourtant nettement plus long que  $(SM)$  sur la figure, mais c'est parce qu'on ne « voit » que la partie dans l'air : la partie dans le verre est au contraire plus grande pour  $(SM)$ , et ces deux effets se compensent exactement.

c) Pour  $M$  sur l'axe, le raisonnement précédent reste entièrement valable : on trouve donc  $(SM) = n_a(3f' + x) + (n - n_a)e_0$ .

Pour  $N$ , cette fois le rayon émergent n'est plus parallèle à l'axe. Pour pouvoir tracer le rayon allant de  $S$  à  $N$ , il faut d'abord trouver l'image de  $S$ , graphiquement ou bien en utilisant une formule de conjugaison :

$$\frac{1}{OS'} - \frac{1}{OS} = \frac{1}{f'} \quad \text{d'où} \quad \overline{OS' \times f'} = \frac{\overline{OS} \times f'}{\overline{OS} + f'} = \frac{-3f' \times f'}{-3f' + f'} = \frac{3}{2}f'.$$

On trace alors, en partant de la fin, le rayon émergent passant par  $S$ ,  $S'$  et  $N$ .

$$(SN) = (SS') + (S'N) \quad \text{si } N \text{ est plus à droite que } S' \left( x > \frac{3}{2}f' \right). \quad \text{On trouve géométriquement } (S'N) = n_a S'N = n_a \sqrt{\left( x - \frac{3}{2}f' \right)^2 + y^2}.$$

Pour  $(SS')$ , chemin optique entre deux points conjugués, on peut utiliser n'importe quel rayon partant de  $S$ , qui passe ensuite forcément par  $S'$ , le chemin  $(SS')$  étant indépendant du rayon choisi. Or le rayon réel est compliqué et inutilisable (toujours à cause de l'épaisseur inconnue de lentille traversée), mais il est très simple d'utiliser comme autre rayon celui qui est confondu avec l'axe,

$$\text{donnant le même calcul que pour } M : (SS') = n_a \frac{9}{2}f' + (n - n_a)e_0. \quad \text{Finalement : } (SN) = n_a \left( \frac{9}{2}f' + \sqrt{\left( x - \frac{3}{2}f' \right)^2 + y^2} \right) + (n - n_a)e_0.$$

$$\text{Dans le cas où } N \text{ est plus à gauche que } S' \left( \text{soit } x < \frac{3}{2}f' \right), \quad \text{la formule devient : } (SN) = n_a \left( \frac{9}{2}f' - \sqrt{\left( \frac{3}{2}f' - x \right)^2 + y^2} \right) + (n - n_a)e_0.$$

Dans les deux cas, si on prend  $y = 0$  on retrouve bien le cas particulier  $(SM)$ .

### Exercice 3

a)  $M$  et  $H$  sont sur une même surface d'onde, plane et orthogonale à l'axe, puisque le faisceau de rayons émergents est un faisceau parallèle (image à l'infini). Donc  $(FM) = (FKM) = (FOH) \Leftrightarrow FK + (n-1)e(r) + KM = d + (n-1)e_0$  (indice 1 pour l'air) soit

$$\sqrt{r^2 + f'^2} + (n-1)e(r) + d - f' = d + (n-1)e_0. \quad \text{Dans les conditions de Gauss : } r \ll f' \quad \text{d'où} \quad \sqrt{r^2 + f'^2} = f' \sqrt{1 + \frac{r^2}{f'^2}} \approx f' \left( 1 + \frac{r^2}{2f'^2} \right)$$

$$\text{donc } f' + \frac{r^2}{2f'} + (n-1)e(r) + d - f' = d + (n-1)e_0 \quad \text{d'où} \quad e(r) = e_0 - \frac{r^2}{2(n-1)f'}.$$

b) On considère maintenant les points  $A$  et  $A'$ , entre lesquels tous les rayons donnent le même chemin optique.

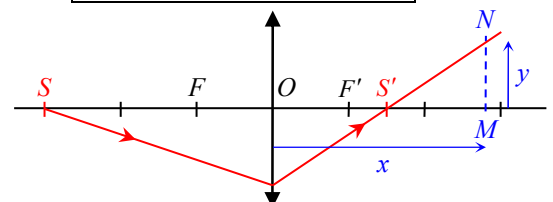
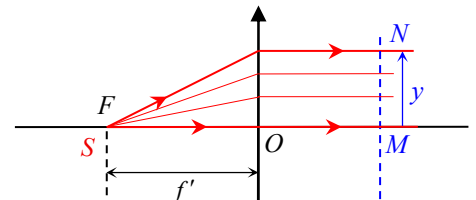
$$(AKA') = (AOA') \Leftrightarrow AK + (n-1)e(r) + KA' = AA' + (n-1)e_0 \Leftrightarrow \sqrt{OA^2 + r^2} + (n-1)e(r) + \sqrt{OA'^2 + r^2} = OA + OA' + (n-1)e_0.$$

$$\text{Comme précédemment, } \sqrt{OA^2 + r^2} = OA \sqrt{1 + \frac{r^2}{OA^2}} \approx OA \left( 1 + \frac{r^2}{2OA^2} \right) = OA + \frac{r^2}{2OA} \quad \text{et de même } \sqrt{OA'^2 + r^2} \approx OA' + \frac{r^2}{2OA'}.$$

$$\text{L'équation devient donc : } OA + \frac{r^2}{2OA} + (n-1)e(r) + OA' + \frac{r^2}{2OA'} = OA + OA' + (n-1)e_0. \quad \text{On simplifie par } OA \text{ et } OA' \text{ et on utilise le}$$

$$\text{résultat précédent pour } e(r) : \frac{r^2}{2OA} + \frac{r^2}{2OA'} = \frac{r^2}{2f'} \quad \text{soit} \quad \frac{1}{OA} + \frac{1}{OA'} = \frac{1}{f'}. \quad \text{Finalement on introduit les mesures algébriques :}$$

$$\overline{OA'} = OA' > 0 \quad \text{et} \quad \overline{OA} = -OA < 0, \quad \text{d'où la formule de Descartes} \quad \frac{1}{\overline{OA'}} - \frac{1}{\overline{OA}} = \frac{1}{f'}.$$



**Exercice 5**

a) L'allure de la fonction  $p_f = \frac{d\mathcal{P}}{df} = K \exp \left[ -\left( \frac{f-f_0}{\Delta f} \right)^2 \right]$  est donnée ci-contre : ce type de courbe est appelé *gaussienne*.  $p_f$  est maximale en  $f_0$ , et tend vers 0 pour  $|f-f_0| \gg \Delta f$ .

La largeur du pic à mi-hauteur est donnée par :  $\exp \left[ -\left( \frac{f-f_0}{\Delta f} \right)^2 \right] = \frac{1}{2} \Leftrightarrow f = f_0 \pm \Delta f \sqrt{\ln 2}$

donc elle vaut  $2\sqrt{\ln 2} \Delta f = 1,7 \Delta f$ . La valeur  $\Delta f$  elle-même est la largeur du pic un peu plus haut (à une hauteur de 78 %).

La grandeur  $\Delta f$  donne donc l'ordre de grandeur de la largeur spectrale de la source.

b) AN  $\boxed{\frac{\Delta f}{f_0} = 1 \cdot 10^{-6}}$ .

c)  $\ell_c = c\tau_c \sim \frac{c}{\Delta f_{\text{exp}}}$  donc  $\frac{\Delta f_{\text{exp}}}{f_0} \sim \frac{c}{\ell_c f_0}$ . AN  $\boxed{\frac{\Delta f_{\text{exp}}}{f_0} \sim 5 \cdot 10^{-5}}$ . La raie est donc nettement plus large que s'il n'y avait que l'effet

Doppler : la cause principale de l'élargissement spectral est ici le raccourcissement des trains d'ondes par les collisions entre les atomes, dont la fréquence est liée notamment à la pression dans la vapeur.

